

## گرانول هیدروکسید آهن (GFH) جاذبی برای حذف آرسنات و آرسنیت از آب آشامیدنی

علیرضا عسگری<sup>۱</sup>، امیر حسین محوی<sup>۲</sup>، فروغ واعظی<sup>۳</sup>، آذر قصری<sup>\*</sup>

۱- کارشناس ارشد مهندسی بهداشت محیط، دانشکده بهداشت، دانشگاه علوم پزشکی تهران

۲- استادیار گروه مهندسی بهداشت محیط، دانشکده بهداشت، دانشگاه علوم پزشکی تهران، (مؤلف مسئول) تلفن: ۰۲۱-۶۶۴۶۲۲۶۸، ahmahvi@yahoo.com

۳- دانشیار گروه مهندسی بهداشت محیط، دانشکده بهداشت، دانشگاه علوم پزشکی تهران

۴- کارشناس گروه مهندسی بهداشت محیط، دانشکده بهداشت، دانشگاه علوم پزشکی تهران

### چکیده

**زمینه و هدف:** آلودگی آبهای زیر زمینی به آرسنیک به عنوان یک مشکل بزرگ مورد توجه خاص می‌باشد و گزارش‌های متعددی از آلودگی آبهای سطحی و زیر زمینی به آرسنیک به خصوص دو گونه آرسنات و آرسنیت در دسترس می‌باشد که در این بین بعضی از مناطق استان کردستان نیز دچار این مشکل می‌باشند. فن آوریهای متعددی برای حذف آرسنیک از آب آشامیدنی وجود دارد که عموماً دارای هزینه‌های بالا می‌باشند.

**روش بررسی:** در این مطالعه از GFH به عنوان یک جاذب تقریباً جدید برای حذف آرسنات و آرسنیت در سه غلظت ۰/۵، ۱ و ۲ میلی گرم در لیتر و در وزنهای ۰/۲۵، ۰/۵ و ۱/۵ گرم استفاده شد و تغییرات اثر زمان، غلظت، pH، وزن جاذب، میزان آهن افزوده شده به آب در حین فرآیند حذف و اثر یونهای سولفات و کلراید در فرآیند حذف و همچنین تعیت فرآیند جذب از معادلات فرونالیخ و لانگموئر مورد بررسی قرار گرفت و از نرم افزار Excel برای تجزیه و تحلیل داده‌ها استفاده شد.

**یافته‌ها:** نتایج آزمایشات نشان داد که GFH دارای راندمان حذف ۹۵، ۸۶/۵ و ۸۳/۷۵ درصدی آرسنات (V) و ۹۱ و ۸۰ درصدی آرسنیت (III) به ترتیب در سه غلظت اولیه ۰/۵، ۱ و ۲ میلی گرم در لیتر هر دو گونه آرسنات و آرسنیت در pH ۷/۵، زمان تماس ۳۰ دقیقه و دز جاذب ۰/۵ گرم در لیتر می‌باشد. همچنین یونهای سولفات و کلراید تأثیر چندانی در کارایی حذف ندارند. فرآیند جذب آرسنات و آرسنیت توسط GFH از ایزوترم جذب فرونالیخ با ضرائب همبستگی  $R^2 = ۰/۹۶$  تعیت یکسانی را نشان می‌دهد در حالی که آرسنات با ضریب همبستگی  $R^2 = ۰/۹۴$  نسبت به آرسنیت با داشتن ضریب همبستگی  $R^2 = ۰/۹۲$  تعیت بیشتری را از ایزوترم جذب لانگموئر نشان می‌دهد. نتایج همچنین نشان دادند که میزان آهن افزوده شده به محیط بیشتر از مقدار استاندارد ۰/۳ میلی گرم در لیتر آب آشامیدنی می‌باشد.

**نتیجه‌گیری:** جاذب GFH را می‌توان برای مناطق آلوده کشور به خصوص استان کردستان استفاده نمود چراکه دارای کارایی بالای حذف هر دو نوع آرسنات و آرسنیت بوده، نیاز به اصلاح pH آب می‌باشد و این در حالی است که دارای معایی نظری اضافه نمودن آهن به آب، وارداتی بودن و هزینه نسبتاً بالای اولیه می‌باشد که البته مشکل آهن اضافه شده به محیط را می‌توان توسط روش‌های معمول حذف نمود.

**کلید واژه‌ها:** آب آشامیدنی، آرسنات، آرسنیت، گرانول هیدروکسید آهن (GFH)، جذب

وصول مقاله: ۸۷/۱/۸ اصلاح نهایی: ۸۷/۳/۱۳ پذیرش مقاله: ۸۷/۵/۳

## مقدمه

آرسنیک در آب آشامیدنی تعیین کرده است. آزانس حفاظت محیط زیست ایالات متحده (EPA) نیز استاندارد آرسنیک در آب آشامیدنی را از ۰/۰۵ به ۰/۰۱ میلی گرم در لیتر کاهش داده است (۱۴ و ۱۲-۱). استاندارد آرسنیک در آب آشامیدنی کشور مانیز  $\text{mg/L}$  ۰/۰۵ است. آرسنیک را می‌توان از آبهای سطحی و زیرزمینی توسط انعقاد و فیلتراسیون توسط ترکیبات آهن و آلومینیوم و نیز سختی گیری با آهک و همینطور سایر روشها حذف نمود (۱۵-۱۷). بسیاری از اکسیدهای آهن نظیر گرانول هیدروکسید آهن (GFH) دارای ظرفیت بالایی در جذب آرسنیک و به خصوص آرسنات می‌باشد (۱۸). گرانول هیدروکسید آهن به عنوان یک جاذب برای حذف آرسنیک از محیطهای آبی در سالهای اخیر مدنظر قرار گرفته است. این محصول اولین بار در دانشگاه فنی برلین آلمان، دپارتمان کنترل کیفی آب برای حذف آلایندهای انتخابی تولید شد (۱۸، ۱۹). هدف از انجام این مطالعه تعیین کارایی این جاذب جدید برای حذف ترکیبات آرسنیک (آرسنات و آرسنیت) از آب آشامیدنی می‌باشد.

## روش بررسی

**(الف) تهیه و آماده سازی جاذب:** گرانولهای هیدروکسید آهن (GFH) با مشخصات ارائه شده در جدول ۱ از شرکت آلمانی Wasserchemie GmbH and Co. KG خریداری شد. به منظور حذف رطوبت، GFH را به به مدت ۹۰ دقیقه در دمای ۱۰۵ درجه سانتی گراد طبق پیشنهاد Badruzzaman و همکاران (۲) در دستگاه آون قرار داده و سپس در دسی کاتور خنک نمودیم.

**(ب) تهیه نمونه‌ها:** برای تهیه آرسنات و آرسنیت از نمکهای آرسنات سدیم  $\text{Na}_2\text{HASO}_4 \cdot 7\text{H}_2\text{O}$  و آرسنیت سدیم

آرسنیک شبیه فلز سنگینی است که نام آن از کلمه یونانی آرسنیکون به معنی قوی گرفته شده است. این عنصر در محیط در حالت‌های مختلف اکسیداسیون یافت می‌شود که می‌توان به آرسنات، آرسنیت، و حالت صفر ظرفیتی آن اشاره کرد (۱). آرسنیک معمولاً به صورت آرسنات یا آرسنیت در منابع آب دیده می‌شود. آرسنات ( $\text{H}_3\text{AsO}_4$ ,  $\text{H}_2\text{AsO}_4^-$ ,  $\text{HAsO}_4^{2-}$ , or  $\text{AsO}_4^{3-}$ ) دارای اکسیژن فراوان و آرسنیت ( $\text{H}_3\text{AsO}_3$ ,  $\text{H}_2\text{AsO}_3^-$ ,  $\text{HAsO}_3^{2-}$ ) در آبهای دچار کمبود آکسیژن یافت می‌شوند (۲). آرسنیک به عنوان سرطان‌زای انسانی (دارای توانایی ایجاد ناراحتی‌های کلیوی، کبدی، خونی، پوستی و پروستات) از سوی سازمان تحقیقات سرطان شناخته شده است (۳-۶). گزارشات قبل از سال ۲۰۰۰ میلادی چندین منطقه بزرگ در آسیا و منجمله بنگلادش، هند و سه منطقه از چین را به عنوان مناطق آلوده به آرسنیک معرفی می‌کرد (۷-۹). مطالعات در سال ۲۰۰۴ نشان داد که مناطق مختلف دیگری نیز در آسیا دارای آلودگی طبیعی به آرسنیک در آب می‌باشند که از این میان می‌توان به مناطق غربی کشورمان و شهرهایی از استان کردستان اشاره نمود (۱۰، ۱۱). سازمان جهانی بهداشت (WHO) راهنمای حداکثر غلظت مجاز آرسنیک در آب آشامیدنی را در سال ۱۹۹۳ از ۰/۰۵ به ۰/۰۱ میلی گرم در لیتر کاهش داد و در پی آن آلمان نیز استاندارد خود را به  $0/01 \text{ mg/L}$  در سال ۱۹۹۶ تغییر داد. در حالی که استاندارد استرالیا حدود  $0/05-0/07 \text{ mg/L}$  برای آرسنیک در آب آشامیدنی می‌باشد. استاندارد آرسنیک در آب آشامیدنی کشور فرانسه  $0/015 \text{ mg/L}$  می‌باشد. اتحادیه اروپا نیز استاندارد  $0/01 \text{ mg/L}$  را برای

pH=7/۵ در غلظتهاي ۱، ۰/۵، ۰، ۲ و ۳ ميلي گرم در ليتر آرسنات و آرسنيت در حضور شاهد و با سرعت اختلاط ۱۰ دور در دقيقه توسط همزن در تماس با هم قرار گرفتند و از معادله ۱ برای تعين ميلي گرم جرم جذب شده آرسنات يا آرسنيت در يك گرم جاذب (qe) استفاده شد. برای سنجش اثر یونهاي سولفات و کلرايد در فرآيند جذب از دو غلظت ۲۰۰ و ۴۰۰ ميلي گرم در ليتر آنها در غلظتهاي ۰/۵، ۱ و ۲ ميلي گرم در ليتر آرسنات و آرسنيت با دوز جاذب ۰/۵ گرم در ليتر در زمان تماس ۳۰ دقيقه با pH=7/۵ و سرعت اختلاط ۱۰ دور در دقيقه استفاده شد و همينطور ميزان آهن افزوده شده به آب نيز در حضور و عدم حضور یونهاي سولفات و کلرايد در اين قسمت توسط دستگاه اسپکتروفوتومتر مدل DR/2000 با طول موج ۵۱۰ نانومتر اندازه گيري گردید. برای سنجش غلظت سولفات باقی مانده از دستگاه اسپکتروفوتومتر مدل PerkinElmer در طول موج ۴۲۰ نانومتر و برای سنجش غلظت کلرايد باقی مانده مطابق روش ذكر شده در كتاب استاندارد متـ (۲۱) عمل گردید. كـلـيه نـمـونـهـا قبل اـز هـرـگـونـهـ انـداـزـهـ گـيرـيـ اـزـ صـافـيـ وـاتـمنـ ۰/۴۵ مـيـكـرونـ عـبورـ دـادـهـ شـدـنـدـ وـ درـ ضـصـمـ تـامـيـ آـزـمـايـشـاتـ درـ دـمـايـ مـحـيطـ آـزـمـايـشـگـاهـ وـ حدـودـ ۲۵ درـجهـ سـانـتـيـ گـرـادـ اـنـجـامـ شـدـ وـ بهـ منـظـورـ اـفـرـايـشـ دـقـتـ كـلـيهـ آـزـمـايـشـاتـ بـهـ صـورـتـ Triplicate اـنـجـامـ گـرـدـيـدـ وـ اـعـدـادـ گـزـارـشـ شـدـهـ درـ اـيـنـ مـقـالـهـ بـهـ صـورـتـ مـيـانـيـگـنـ سـهـ مـرـحلـهـ درـ هـرـ مـورـدـ مـيـ باـشـدـ وـ درـ نـهاـيـتـ برـايـ تـجزـيهـ وـ تـحلـيلـ دـادـهـ اـزـ نـرمـ اـفـزارـ Excelـ استـفادـهـ شـدـ.

$$qe = \frac{(C_0 - C_e)V}{m} \quad : \text{معادله ۱}$$

که در این معادله :

میلی گرم جرم جذب شده آرسنات یا آرسنیت در یک گرم جاذب

استفاده شد و در ضمن به منظور جلوگیری از  $\text{NaAsO}_2$  اکسیداسیون آرسنیت به آرسنات محلول‌های مورد نظر به صورت روزانه در غلظتهای  $0.5\text{--}1$  و  $2$  میلی‌گرم در لیتر تهیه می‌شد. محلولهای سولفات و کلراید در دو غلظت  $200$  و  $400$  میلی‌گرم در لیتر از نمکهای سولفات پتابسیم  $\text{K}_2\text{SO}_4$ ) و کلرورسدیم ( $\text{NaCl}$ ) تهیه گردید. کلیه محلولهای ذکر شده با استفاده از آب دی‌یونیزه در آزمایشگاه شیمی گروه مهندسی بهداشت محیط دانشگاه علوم پزشکی تهران تهیه شد.

ج) انجام آزمایشات: محلولهای آرسنات و آرسنیت تهی شده را در غلظتهای  $0/5$ ،  $1$  و  $2$  میلی گرم در لیتر در تماس با جاذب GFH در دوزهای  $0/25$ ،  $0/5$ ،  $1$  و  $1/5$  گرم در لیتر در زمانهای تماس  $5$ ،  $10$ ،  $15$ ،  $30$  و  $60$  دقیقه قراردادیم و برای ایجاد اختلاط از دستگاه همزن مدل Heidolph با سرعت  $350$  دور در دقیقه استفاده شد. برای سنجش غلظت آرسنات و آرسنیت باقی مانده پس از فرآیند جذب از کیت EZ Arsenic Test محصول شرکت هک آمریکا استفاده گردید، کلیه سنجشها انجام شده توسط این کیت بر اساس مطالعه مصداقی نیا و همکاران (۲۰) در حجم  $9/6$  میلی لیتر با توان سنجش  $35$ ،  $75$ ،  $175$ ،  $500$ ،  $1500$  و  $4000$  میکرو گرم در لیتر با توجه به تغییر رنگ و مقایسه چشمی با شاخص رنگی موجود در کیت صورت گرفت و به منظور جلوگیری از خطا از افرادی که هیچ اطلاعی از آزمایشات نداشتند در مقایسه چشمی استفاده شد. به منظور بررسی اثر pH از اسید نیتریک و سود سوزآور برای تنظیم pH در حدود  $5$ ،  $6/5$ ،  $6$  و  $7/5$  و  $8$  استفاده شد و برای سنجش آن از دستگاه pH مدل E520 استفاده گردید. به منظور بررسی تعیت فرآیند جذب از معادلات ایزووترم فرونالدیخ و لانگموئر جاذب در دوز ثابت  $5$  گرم در لیتر در زمان تماس  $30$  دقیقه و

حداقل در صد حذف آرسنات و آرسنیت در سه غلظت اولیه  $0/5$ ،  $1$  و  $2$  میلی گرم در لیتر در دز جاذب  $0/5$  گرم در لیتر به ترتیب در مورد آرسنات  $93$  و  $85$ ،  $92/5$  و  $60$ ،  $96/25$  و  $50$ ، و در مورد آرسنیت  $93$  و  $50$ ،  $92/5$  و  $50$ ،  $91/25$  و  $50$  در صد می باشد. در شکل های  $13$  و  $14$  اثرات تغییر pH در گستره  $5$  تا  $8$  بر کارایی حذف آرسنات و آرسنیت در سه غلظت اولیه  $0/5$ ،  $1$  و  $2$  میلی گرم در لیتر آرسنات و آرسنیت در زمان تماس  $30$  دقیقه با دز  $0/5$  گرم در لیتر GFH مشاهده می شود که حداکثر و حداقل در صد حذف آرسنات به ترتیب  $95$  و  $82$ ،  $86/5$  و  $76/5$ ،  $83$ ،  $75$ ،  $70$ ، و در مورد آرسنیت  $91$  و  $83/5$  و  $83/5$  و  $80$ ،  $75$  و  $67/5$  در صد می باشد. در شکل های  $14-15$  نتایج مطالعه ایزوترم های جذب فروندلیخ و لانگموئر را در مورد جذب آرسنات و آرسنیت توسط GFH مشاهده می نمایید. در جداول  $1$  و  $2$  نتایج بررسی اثرات غلظت سولفات و کلراید در غلظتهای اولیه  $200$  و  $400$  میلی گرم در لیتر، در زمان تماس  $30$  دقیقه با GFH در دوز  $0/5$  گرم در لیتر pH= $7/5$  و غلظتهای اولیه  $1$ ،  $0/5$  و  $2$  میلی گرم در لیتر آرسنات و آرسنیت و همچنین میزان آهن افزوده شده پس از فرایند جذب توسط GFH به محیط نیز در حضور و عدم حضور این یونها آورده شده است.

$C_0$ : غلظت اولیه جذب شونده بر حسب میلی گرم در لیتر  
 $C_e$ : غلظت ثانویه جذب شونده بر حسب میلی گرم در لیتر  
 $V$ : حجم محلول بر حسب لیتر  
 $m$ : جرم جاذب بر حسب گرم می باشد.

جدول ۱: مشخصات GFH (ارائه شده توسط شرکت سازنده)

اکسی هیدروکسی فریک (%) وزنی)	۵۲-۵۷
رطوبت (%)	۴۳-۴۸
تخلخل (%)	۷۲-۷۷
pH	۷,۵-۸,۲
مساحت ویژه سطح ( $m^2/g$ )	۲۸۰
دانسیته ( $kg/m^3$ )	۱۲۵۰
اندازه مؤثر (mm)	۰/۳۲-۲
ضریب یکنواختی	۳ تقریباً
قیمت به ازای هر کیلو گرم (ریال)	۴۳۰۰۰

## یافته ها

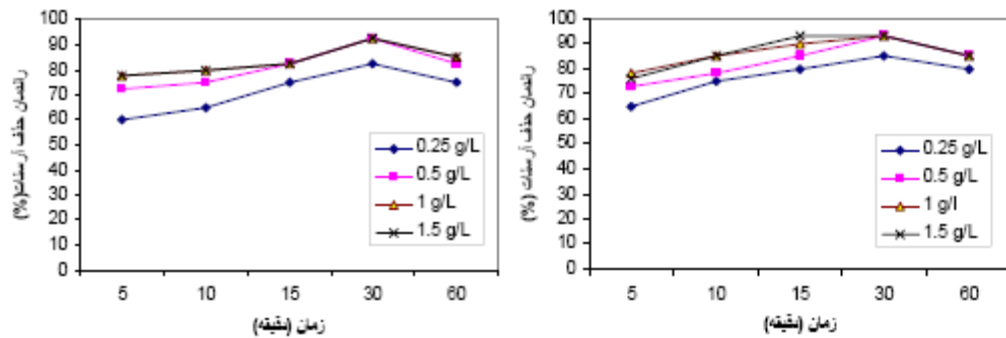
شکل های  $1$  تا  $6$  نشان دهنده اثرات تغییرات زمان تماس در گستره  $5$  تا  $60$  دقیقه بر راندمان حذف آرسنات و آرسنیت در غلظتهای اولیه  $0/5$ ،  $1$  و  $2$  میلی گرم در لیتر توسط GFH می باشند. شکل های  $7$  تا  $12$  نشان دهنده اثرات دوز جاذب (GFH) در دوز های  $0/25$ ،  $0/5$ ،  $1$  و  $1/5$  گرم در لیتر بر راندمان حذف آرسنات و آرسنیت در غلظت های اولیه  $0/5$ ،  $1$  و  $2$  میلی گرم در لیتر می باشند. همانطور که در این شکلها دیده می شود حداکثر و

جدول ۲: اثر یونهای سولفات و کلراید در حذف آرسنات و میزان آهن افزوده شده به آب

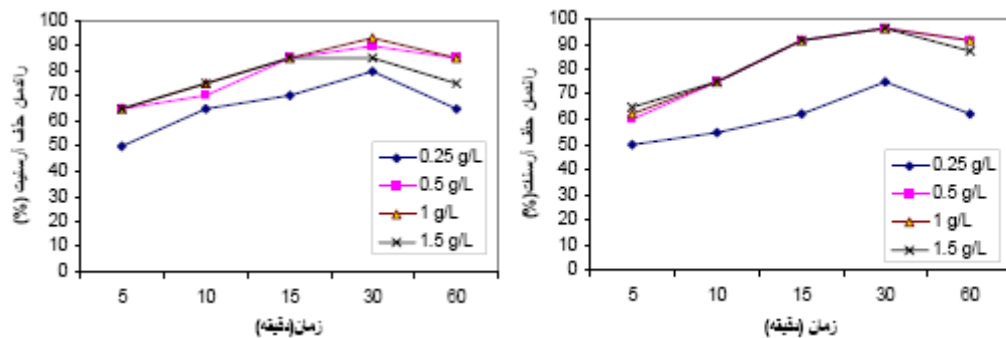
آهن افزوده	آهن افزوده	آهن	غاظت	غاظت باقیمانده	آرسنات در حضور	آرسنات باقیمانده	آرسنات باقیمانده	غاظت	غاظت اولیه	غاظت اولیه
شده در حضور	افزوده	شده در حضور	باقیمانده	باقیمانده	آرسنات در حضور	آرسنات	آرسنات	باقیمانده	سولفات	آرسنات
حضور	سولفات	شده به آب	کلراید	سولفات	حضور	حضور	μg/L	کلراید	mg/L	μg/L
کلراید	Mg/L		mg/L	mg/L	کلراید	سولفات		mg/L		
mg/L			mg/L		μg/L	μg/L				
۰/۸۹	۱/۶۳	۰/۶۹	۶۹/۶۹	۴۰/۸۲	<۳۵	۳۵	۳۵	۲۰۰	۲۰۰	۵۰۰
					۲۵ تقریباً					
۰/۳۹	۱/۱۶	۰/۴۵	۵۷/۱۸	۴۵/۸۳	۷۵	<۷۵	۷۵	۲۰۰	۲۰۰	۱۰۰۰
					۵۰ تقریباً					
۰/۳۱	۰/۸۷	۰/۵۱	۷۱/۴۸	۵۱/۰۷	۱۷۵	۱۷۵	۱۷۵	۲۰۰	۲۰۰	۲۰۰۰
					۲۵ تقریباً					
۰/۳۵	۰/۹۷	۰/۴۹	۶۲/۵۴	۲۸۱/۱	۳۵	<۳۵	۳۵	۴۰۰	۴۰۰	۵۰۰
					۲۵ تقریباً					
۰/۵۶	۰/۷۹	۰/۶۵	۸۷/۵۶	۳۰۸/۷	۷۵	۷۵	۷۵	۴۰۰	۴۰۰	۱۰۰۰
					۱۵۰ تقریباً					
۰/۸۴	۰/۸۸	۰/۴۸	۸۵/۷۸	۳۴۷/۲	<۱۷۵	۱۷۵	۱۷۵	۴۰۰	۴۰۰	۲۰۰۰
					۱۵۰ تقریباً					

جدول ۳: اثر یونهای سولفات و کلراید در حذف آرسنیت و میزان آهن افزوده شده به آب

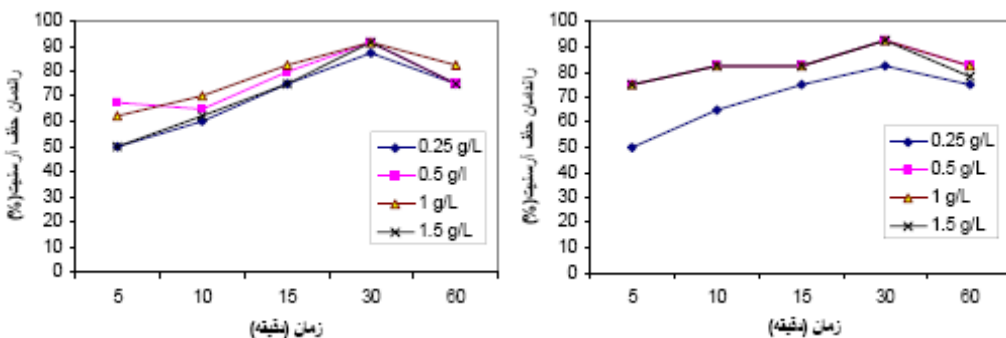
آهن افزوده	آهن افزوده	آهن افزوده	غاظت	غاظت باقیمانده آرسنیت	باقیمانده آرسنیت	آرسنیت در حضور	آرسنیت در حضور	غاظت اولیه کلراید	غاظت اولیه اولیه	غاظت اولیه آرسنیت
شده در حضور	شده به آب	باقیمانده سولفات	mg/L	mg/L	mg/L	سولفات	سولفات	mg/L	mg/L	μg/L
mg/L	mg/L	mg/L		μg/L	μg/L	kg/L	kg/L			
۰/۶۸	۰/۶۵	۰/۶۹	۷۵/۰۵	۱۶۷/۹	۳۵	۳۵	۳۵	۲۰۰	۲۰۰	۵۰۰
					۲۵ تقریباً					
۰/۶۱	۰/۶۰	۰/۴۵	۷۱/۴۸	۱۳۷/۷	۷۵	۷۵	<۷۵	۲۰۰	۲۰۰	۱۰۰۰
					۵۰ تقریباً					
۰/۵۷	۰/۶۸	۰/۵۱	۷۸/۶۳	۱۰۱/۳	۱۷۵	۱۷۵	۱۷۵	۲۰۰	۲۰۰	۲۰۰۰
					۲۵ تقریباً					
۰/۶۰	۰/۶۷	۰/۴۹	۸۰/۴۱	۲۱۴/۲	۳۵	<۳۵	۳۵	۴۰۰	۴۰۰	۵۰۰
					۲۵ تقریباً					
۰/۶۵	۰/۶۷	۰/۶۵	۸۳/۹۹	۲۳۳/۵	۷۵	۷۵	۷۵	۴۰۰	۴۰۰	۱۰۰۰
					۱۵۰ تقریباً					
۰/۵۹	۰/۶۵	۰/۴۸	۶۶/۱۲	۲۳۵/۳	<۱۷۵	۱۷۵	<۱۷۵	۴۰۰	۴۰۰	۲۰۰۰
					۱۵۰ تقریباً					



شکل ۱: تأثیر زمان بر راندمان حذف آرسنات در غلظت اولیه ۱ mg/L



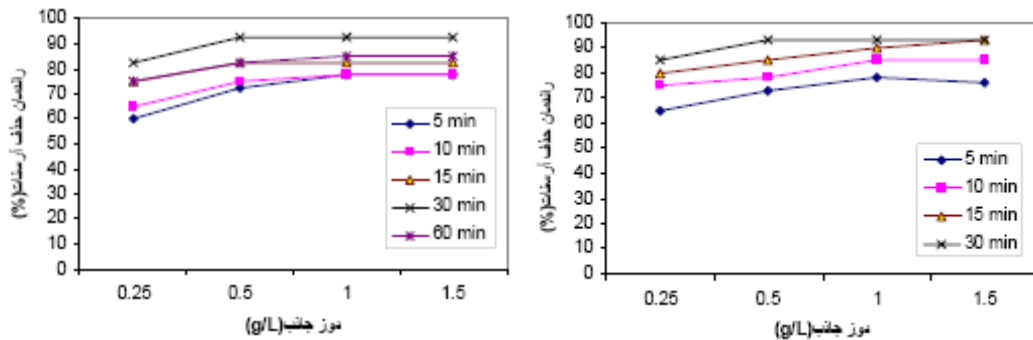
شکل ۲: تأثیر زمان بر راندمان حذف آرسنات در غلظت اولیه ۲ mg/L



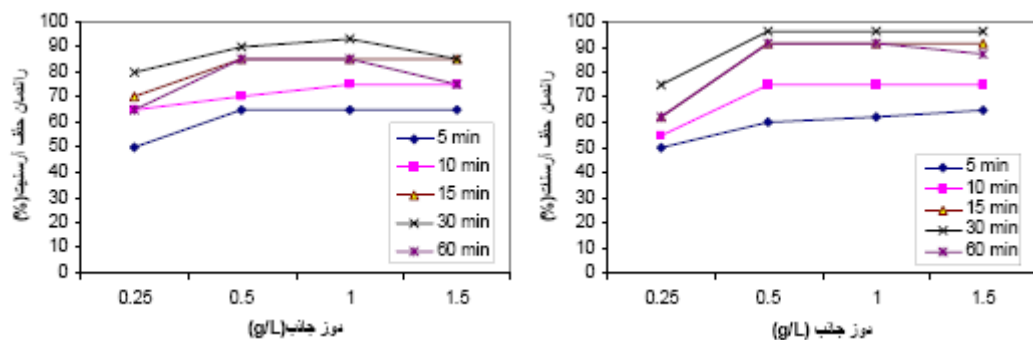
شکل ۳: تأثیر زمان بر راندمان حذف آرسنات در غلظت اولیه ۵ mg/L



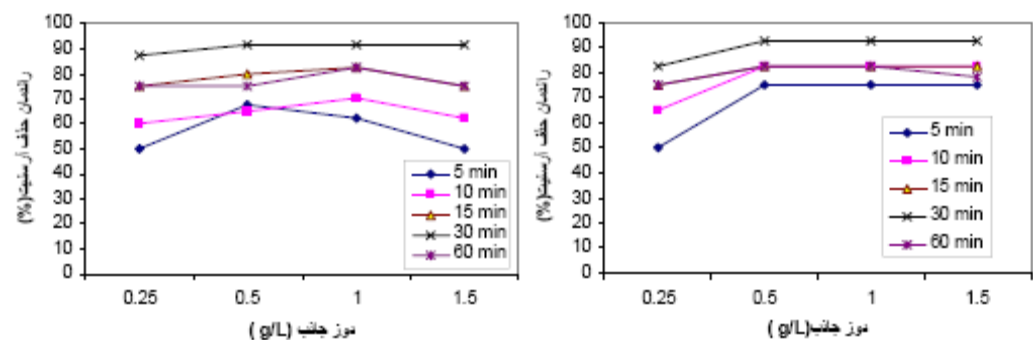
شکل ۴: تأثیر زمان بر راندمان حذف آرسنات در غلظت اولیه ۱ mg/L



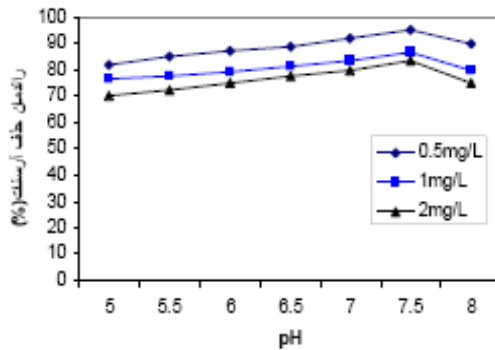
شکل ۷: تأثیر دز جاذب بر راندمان حذف آرسنات در غلظت  $1\text{ mg/L}$  آرسنیت در غلظت  $0.5\text{ mg/L}$



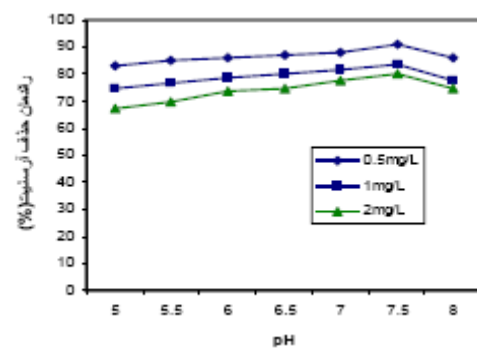
شکل ۹: تأثیر دز جاذب بر راندمان حذف آرسنات در غلظت  $2\text{ mg/L}$  آرسنیت در غلظت  $0.5\text{ mg/L}$



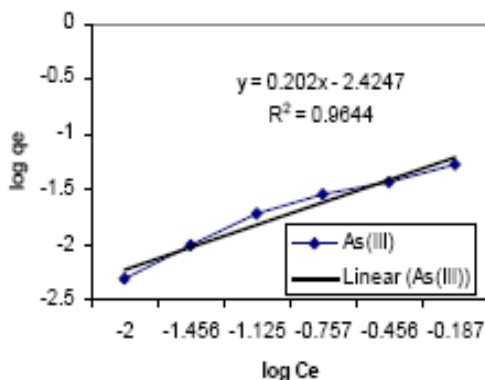
شکل ۱۱: تأثیر دز جاذب بر راندمان حذف آرسنیت در غلظت  $1\text{ mg/L}$  آرسنیت در غلظت  $2\text{ mg/L}$



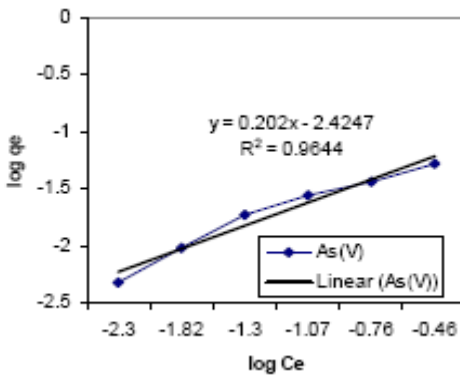
شکل ۱۴: تأثیر pH بر راندمان حذف آرسنیت



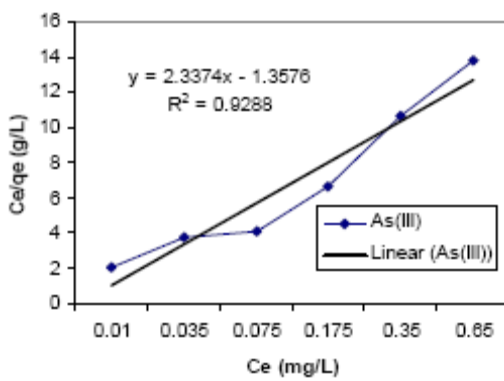
شکل ۱۵: تأثیر pH بر راندمان حذف آرسنیت



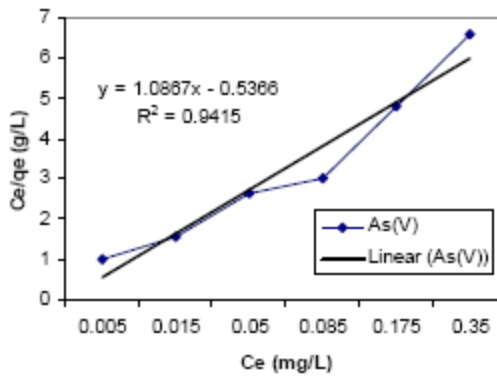
شکل ۱۶: مطالعه ایزوترم جذب فرونديخ آرسنیت



شکل ۱۷: مطالعه ایزوترم جذب فرونديخ آرسنیت



شکل ۱۸: مطالعه ایزوترم جذب لاتگموئر آرسنیت



شکل ۱۹: مطالعه ایزوترم جذب لاتگموئر آرسنیت

## بحث

راندمان حذف آرسنات و آرسنیت افزایش می‌یابد و در دوز جاذب  $0/5$  گرم در لیتر به حداقل مقدار حذف میرسیم و بعد از آن با افزایش دوز جاذب به یک راندمان تقریباً ثابت حذف نزدیک می‌شویم. نتایج بدست آمده مشابه نتایج Banerjee و همکاران (۳۱) می‌باشد. در شکل‌های  $13$  و  $14$  می‌بینیم که ایجاد تغییرات pH در کارایی حذف هر دو نوع آرسنات و آرسنیت اثر گذار است به نحوی که در pH کمتر از  $7/5$  در هر سه غلظت ابتدایی آرسنات و آرسنیت، کارایی حذف تقریباً بالا می‌باشد و در pH  $7/5$  به حداقل مقدار خود می‌رسد و در بیشتر از این pH کارایی حذف تقریباً کاهش می‌یابد. در مطالعه Thriunavukkarasu و همکاران (۳۲)، pH بهینه حذف آرسنیک توسط GFH،  $7/6$  ذکر شد و همینطور در مطالعه Sperlich و همکاران (۳۳)، pH بهینه حذف آرسنیک توسط جاذب یاد شده  $7-7/6$  بیان شد و نیز Banerjee و همکاران (۳۱) نشان دادند که در pH بیشتر از  $8/5$  راندمان حذف آرسنیک تغییری نداشته و در pH کمتر از  $7/5$  حذف آرسنیک توسط GFH قابل ملاحظه بوده است و همانطور که مشاهده می‌شود نتایج بدست آمده از این مطالعه مشابه نتایج مطالعات ذکر شده می‌باشد. از مقایسه ضرائب همبستگی بدست آمده از مطالعه ایزووترم جاذب فروندلیخ آرسنات و آرسنیت با توجه به شکل‌های  $15$  و  $16$  چنین نتیجه می‌شود که آرسنات و آرسنیت با داشتن ضرائب همبستگی  $R^2=0/96$  تقریباً به طور یکسانی از این ایزووترم تبعیت می‌نمایند در حالی که با توجه به شکل‌های  $17$  و  $18$  و مقایسه ضرائب همبستگی  $R^2=0/94$  در مورد آرسنات و آرسنیت  $R^2=0/92$  در مورد آرسنیت مشخص شد که آرسنات از ایزووترم جاذب لانگموئر نسبت به آرسنیت تبعیت بیشتری را نشان

اکسیدهای آهن به صورت گسترهای برای جذب و حذف آلاینده‌های فاضلاب و مایعات زائد خطرناک همانند کرین فعال به کار رفته‌اند. هیدروس فریک اکساید (HFO) به عنوان یک جاذب مهم در تصفیه فاضلاب برای جذب مواد شیمیایی خطرناک به کار رفته است (۲۲). بررسی مطالعات مختلف نشان می‌دهد که آرسنیک ناشی از آب زیرزمینی قابل حذف توسط فیلترهای دارای آهن صفر ظرفیتی می‌باشد (۲۳). سایر مواد مشابه دارای آهن که برای حذف آرسنیک طی سالهای گذشته به کار رفته‌اند عبارتند از: هیدروکسید آهن (۲۳)، هیدروکسید فریک (۲۴)، هیدرات فریک (۲۵)، سیلیکات آغشته به آهن (۲۶)، ماسه پوشش داده شده با اکسید آهن (۲۷)، کلرید فریک (۲۸)، جاذب نانوکمپوزیت اکسید آهن و سیلیکات (۲۹)، اکسید آهن پوشش داده شده با مواد پلی مریک (۳۰) و گرانول هیدروکسید آهن (GFH) که برای حذف آرسنات مورد مطالعه قرار گرفته است (۱۹). همانطور که در شکل‌های  $1$  تا  $6$  می‌بینیم راندمان حذف آرسنات و آرسنیت در غلظتها اولیه  $0/5$  (شکل‌های  $1$  و  $4$ )،  $1$  (شکل‌های  $2$  و  $5$ ) و  $2$  میلی‌گرم در لیتر (شکل‌های  $3$  و  $6$ ) در زمان تماس  $5$  دقیقه در حداقل مقدار خود می‌باشد اما با افزایش زمان راندمان حذف افزایش چشمگیری را نشان می‌دهد بطوری که در زمان تماس  $30$  دقیقه، راندمان حذف آرسنات و آرسنیت توسط GFH در هر سه غلظت اولیه به حداقل مقدار خود می‌رسد و پس از آن راندمان حذف دچار کاهش می‌شود و به عبارتی با افزایش زمان تماس به بیش از  $30$  دقیقه، واجذب آرسنات و آرسنیت به محیط آب صورت می‌گیرد. در شکل‌های  $7$  تا  $12$  می‌بینیم که با افزایش دوز جاذب

کمتر از میزان آن در حضور سولفات در حین حذف آرسنات می‌باشد. میزان آهن افزوده شده به آب در حین حذف آرسنیت با حضور کلراید حداقل ۰/۵۷ و حداقل ۰/۶۸ میلی‌گرم در لیتر و با حضور سولفات حداقل ۰/۶ و حداقل ۰/۶۸ میلی‌گرم در لیتر می‌باشد و نتیجه‌گیری می‌شود که میزان آهن افزوده شده به آب تفاوت چندانی در حین حذف آرسنیت توسط یونهای کلراید و سولفات را نشان نمی‌دهد. میزان آهن افزوده شده به آب در عدم حضور یونهای سولفات و کلراید GFH در حین حذف آرسنیت و آرسنات توسط GFH حداقل ۰/۴۵ و حداقل ۰/۶۹ میلی‌گرم در لیتر می‌باشد. در هر صورت میزان آهن افزوده شده به آب در تمامی سنجشها بیشتر از استاندارد ۰/۳ mg/L آب آشامیدنی می‌باشد که به عنوان یک مشکل در اینجا مطرح می‌شود.

### نتیجه‌گیری

بر اساس مطالعه انجام شده مشخص گردید که گرانولهای هیدروکسید آهن دارای کارایی بسیار بالایی در حذف آرسنیک حتی در غلظتها بالا در آب آشامیدنی می‌باشند. زمان بهینه برای حذف آرسنیک بر اساس آزمایشات انجام شده ۳۰ دقیقه برآورد شد که توصیه می‌شود از این جاذب در حوض اختلاط یا حوض ته نشینی در تصفیه خانه‌های آب استفاده گردد و همچنین مشخص شد که GFH در pH حدود ۷/۵ بیشترین بازده حذف آرسنیک را دارد که این pH در حدود pH آبهای طبیعی می‌باشد و بنابراین نیازی به اصلاح آن در حین کار با GFH وجود نخواهد داشت که این امر به نوبه خود باعث کاهش هزینه‌های راهبری سیستم خواهد شد. افزایش دوز جاذب نیز موجب

می‌دهد. Badruzzaman و همکاران (۲) نشان دادند که R<sup>2</sup> ایزوترم جذب آرسنات توسط GFH در مورد ایزوترم فرونالیخ ۰/۹۲ می‌باشد که نتایج آنان مغایر با این مطالعه می‌باشد همچنین Sperlich و همکاران (۳۳) در pH=۷ Amy و همکاران (۳۴) در pH=۷ و نیز Westerhoff و همکاران (۳۵) در pH=۷/۵ تبعیت حذف آرسنیک از مدل‌های ایزوترم جذب فرونالیخ و لانگموئر را تایید نمودند. با توجه به جداول ۲ و ۳ مشاهده می‌شود که حضور یونهای سولفات و کلراید در کارایی حذف آرسنات و آرسنیت تأثیر چندانی ندارند و حتی مشاهده شد که GFH، کلراید و سولفات را در غلظتها بکار رفته کاهش داده است. میزان حداقل باقیمانده کلراید در غلظتها اولیه ۴۰۰ و ۷۸/۵۶ میلی‌گرم در لیتر در حضور آرسنات ۷۱/۴۸ و ۷۸/۵۶ و در حضور آرسنیت ۷۸/۶۳ و ۸۳/۹۹ میلی‌گرم در لیتر می‌باشد و نشان می‌دهد که کارایی حذف کلراید در حضور آرسنات اندکی بیشتر از حضور آرسنیت می‌باشد. میزان باقی مانده سولفات در غلظتها اولیه ۲۰۰ و ۴۰۰ میلی‌گرم در لیتر در حضور آرسنات حداقل ۵۱/۰۷ و ۳۴۷/۲۲ و در حضور آرسنیت حداقل ۱۳۷/۷۸ و ۳۳۳/۵۷ میلی‌گرم در لیتر می‌باشد و این نتیجه نشان می‌دهد که کارایی حذف سولفات در حضور آرسنات و آرسنیت توسط GFH بسیار کمتر از کارایی حذف کلراید می‌باشد و GFH دارای راندمان بیشتری در حذف کلراید نسبت به سولفات می‌باشد. میزان آهن افزوده شده به محیط در حین حذف آرسنات با حضور کلراید حداقل ۰/۳۱ و حداقل ۰/۸۱ میلی‌گرم در لیتر و با حضور سولفات حداقل ۰/۷۹ و حداقل ۱/۶۳ میلی‌گرم در لیتر می‌باشد و چنین استنباط می‌شود که میزان آهن افزوده شده در حضور کلراید

کشور به خصوص استان کردستان برای رفع معطل آلودگی آرسنیک استفاده نمود در ضمن توصیه می شود در مطالعات بعدی جاذبهای مصرف شده از لحاظ خطرزا بودن توسط آزمایش TCLP آنالیز شوند.

### تقدیر و تشکر

این تحقیق در قالب پایان نامه کارشناسی ارشد و با حمایت مالی دانشکده بهداشت دانشگاه علوم پزشکی تهران به انجام رسید، لذا بدینوسیله از خدمات کلیه مسئولین محترم حوزه پژوهشی تشکر می گردد.

افزایش کارای حذف خواهد بود اما از آنجایی که در دوزهای بالاتر کارایی حذف تغییرات چندانی را نشان نداد، توصیه می شود که از دوزهای پائین این جاذب برای حذف آرسنیک استفاده شود. از مزایای جاذب ذکر شده می توان به راهبری ساده، کاربرد آسان و توانایی بالای حذف هر دو گونه آرسنات و آرسنیت و همچنین حذف یون کلراید اشاره نمود و از معایب آن می توان به وارداتی بودن، هزینه نسبتاً بالای اولیه و افزودن آهن در مقادیری بیشتر از استاندارد به آب اشاره کرد. به طور کلی می توان از GFH در مناطق آلوده

### References

- Thomas SY, Choong TG, Chuah YR, Koay FL, Azani I. Arsenic toxicity, health hazards and removal techniques from water: an overview. Desalination 2007; 217: 139-166.
- Badruzzaman M, Westerhoff P, Knappe DRU. Intraparticle diffusion and adsorption of arsenate onto granular ferric hydroxide (GFH). Water Research 2004; 38:4002-4012.
- IARC. IARC Monographs on the evaluation of the carcinogenic chemicals to Humans, Vol 20, International Agency for Research on Cancer. 1980.
- NRC. Arsenic in drinking water. NRC subcommittee on arsenic in drinking water, Committee on toxicology. 1999.
- NRC. Arsenic in drinking water. NRC subcommittee to update the 1999 Committee on toxicology, 2002.
- Menhage-Bena R, Kazemian H, Ghazi-Khansari M, Hosseini M, Shahtaheri Sj. Evaluation of some natural zeolites and their relevant synthetic types as sorbents for removal arsenic from drinking water. Iranian J Public Health 2004; 33: 36-44.
- Van G, Ahmad KM, Seddique AA, Ahamsudduha M. Community wells to mitigate the current arsenic crisis in Bangladesh. Bull. WHO 2003; 81: 632-638.
- Guha Mazumder DN. Chronic arsenic toxicity: Clinical features, epidemiology and treatment: Experience in West Bengal. J Environ Sci Health Part A 2003; 38: 141-163.
- Rahman MM, Chowdhury UK, Mukherjee SC, Mandal BK, Paul K, Lodh D. Chronic arsenic toxicity in Bangladesh and West Bengal –India. J Toxicol, Clin Toxicol 2001; 39: 683-700.
- Mosaferi M, Yunesian M, Mesdaghinia AR, Nasseri S, Mahvi AH, Nadim H. Correlation between arsenic concentration in drinking water and human hair.Iranian J Env Health Sci Eng 2005; 2: 13-21.
- Chakrabotri D, Sengupta MK, Saha KC, Dutta RN, Zaman QQ. Groundwater arsenic contamination and its health effects in the Gana-Meeghra-Brahmaputra plain. J Environ Monit 2004; 6:74-83.
- World Health Organization (WHO), Guidelines for drinking water quality, 1993. p. 41.
- Gonzale MPE, Mattusch W, Einicke D, Wennerich R. Sorption on natural solids for arsenic removal. Chen Eng J 2001; 81: 187-195.
- Schmidt HR, Pulido AN, Rodriguez LM, Vargas BA, Rubio AO. Environmental health risks by arsenic consumption in water wells in the Cape region, Mexico. In: CA Brebbia and D. Fajzieva, eds. South Hampton, UK: WIT Press, 2001. p. 131-138.
- Chen ASC, Fields KA, Sorg TJ, Wang LL. Field evaluation of as removal by conventional plants. J Am. Water Works Assoc 2002; 94: 64-77.

16. Hering JG, Chen PY, Wilki JA, Elimeleh M. Arsenic removal from drinking water during coagulation. *J Environ Eng ASCE* 1997; 123: 800-807.
17. McNelli LS, Edwards M. Arsenic removal during precipitative softening. *J Environ Eng ASCE* 1997; 123: 453-460.
18. Jakel M, Seith R. The removal of the arsenic: comparison of conventional and new techniques for the removal of arsenic in a full-scale water treatment plant. *Water Supply* 2000; 18: 628-631.
19. Driehaus W, Jakel M, Hildeberandt U, Granular ferric hydroxide- a new adsorbent for the removal of arsenic from natural water. *J Water SRT- Aqua* 1998; 47: 30-35.
20. Mesdaghi Nia AR, Mosaferi M, Younesian M, Nasseri S, Mahvi AH. Measurement of Arsenic Concentration in Drinking water of a polluted area using a field and SDDC methods accompanied by assessment of precision and accuracy of each method. *HAKIM RESEARCH JOURNAL* 2005; 1: 43-51.
21. APHA, AWWA and WPCF: Standard methods for the examination of water and wastewater, 21th Edition, Washington: D.C: American Public Health Association 2005. p.
22. Leupin, O and Hu, SJ. Oxidation and removal of arsenic (III) from aerated groundwater by filtration through sand and zero-valent iron. *Water Res* 2005; 39: 1729-1740.
23. Pierce ML, Moore CB. Adsorption of arsenite and arsenate on amorphous iron hydroxide. *Res* 1982; 16: 1247-1253.
24. Quan C, Kho G, Bangster D. Adsorption of sodium lauryl sulfate onto arsenic-bearing ferrihydrite. *Water Res* 2001; 35: 478-484.
25. Raven KP, Jain A, Loepert RH. Arsenite and arsenate adsorption on ferrihydrite: Kinetics, equilibrium, and adsorption envelops. *Environ Sci Technol* 1998; 32: 344-349.
26. Reed BE, Vaughan R, Jiang L. As (III), As (V), Hg, and Pb removal by Fe-oxide impregnated activated carbon. *J Environ Eng* 2000; 126: 869-873.
27. Thirunavukkarasu OS, Viraraghavan T, Subramanian KS. Arsenic removal from drinking water using iron oxide-coated sand. *Water Air Soil Poll* 2003; 142: 95-111.
28. Meng X, Bang S, Korfiatis GP. Effects of silicate, sulfate, and carbonate on arsenic removal by ferric chloride. *Water Res* 2000; 34: 1255-1261.
29. Peleanu I, Zaharescu M, Rau I, Crisan M, Jitianu A, Meghea A. Nanocomposite materials for As(V) removal by magnetically intensified adsorption. *Sep Sci Technol* 2002; 37: 3693-3701.
30. Katsoyiannis AI, Zouboulis AI. Removal of arsenic from contaminated water sources by sorption onto iron oxide-coated polymeric materials. *Water Research* 2002; 36: 5141-5155.
31. Banerjee K, Nour S, Selbie M Prevost M, Charles D. Optimization of process parameters for arsenic treatment with granular ferric hydroxide. *AWWA* 2003; 1-18.
32. Thirunavukkarasu OS, Viraraghavan T, Subramanian KS. Arsenic removal from drinking water using granular ferric hydroxide. *Water SA* 2003; 29:161-168.
33. Sperlich A, Werner A, Genz A, Amy G, Worch E, Jakel M. Breakthrough behavior of granular ferric hydroxide (GFH) fixed-bed adsorption filters: modeling and experimental approaches. *Water Research* 2005; 39: 1190-1198.
34. Amy g, Chen H, Barndhuber N, Greziano N, Gunten U, Chowdhury Z, Kommineni S, Banerjee K, Jakel M. Impact of water quality parameters on adsorbent treatment technologies for arsenic removal. *AWWA Research Foundeation* 2004.
35. Westerhoff P, Highfield D, Badruzzaman M, Yoon Y. Rapid small-scale column testes for arsenate removal in iron oxide paced bed column. *ASCE J Environ Eng* 2005; 131: 262-271.